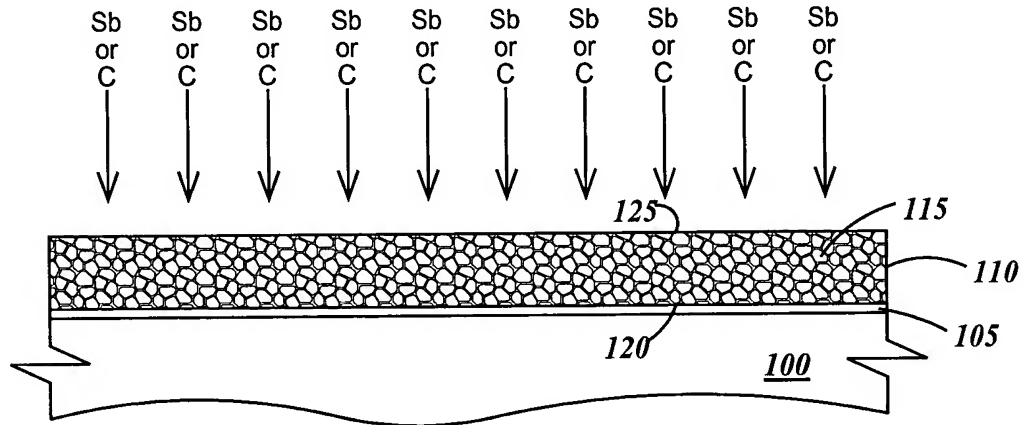
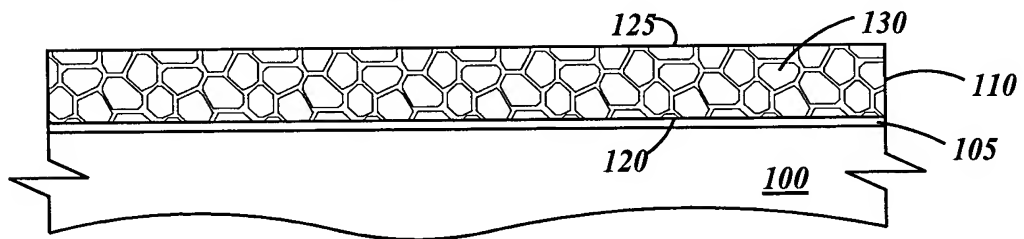


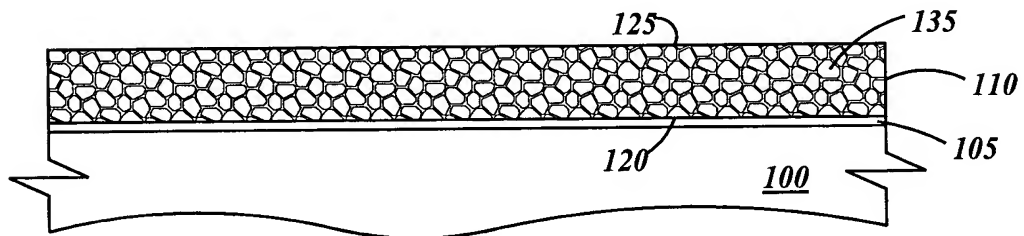
**FIG. 1**



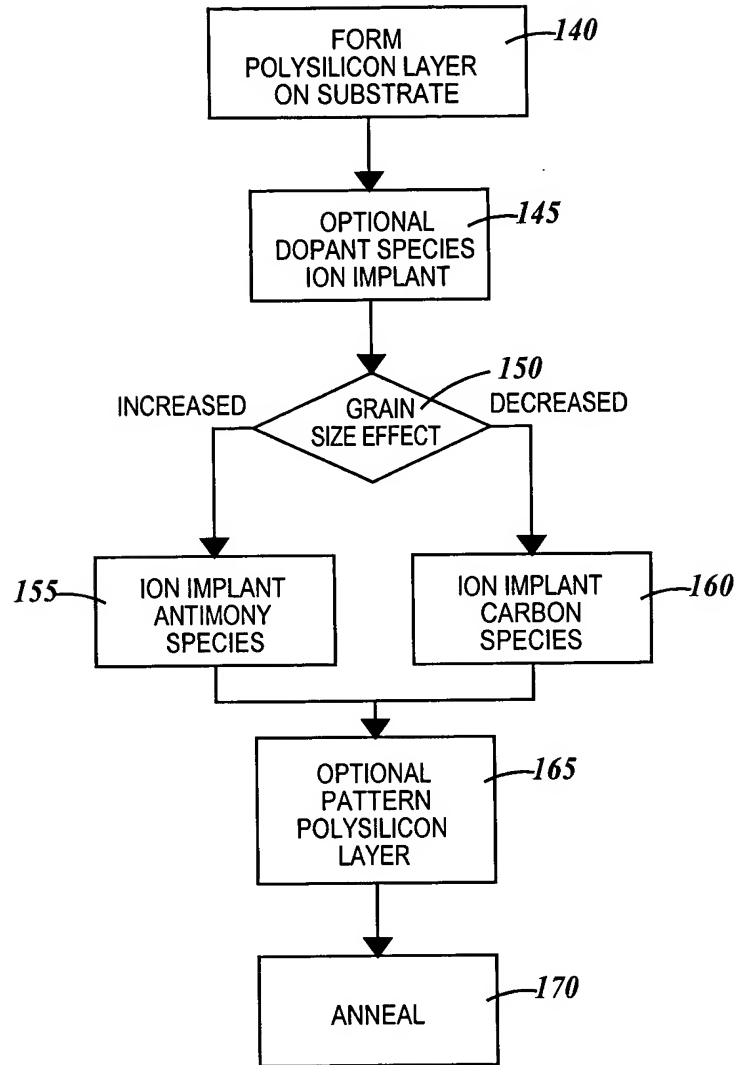
**FIG. 2**



**FIG. 3A**

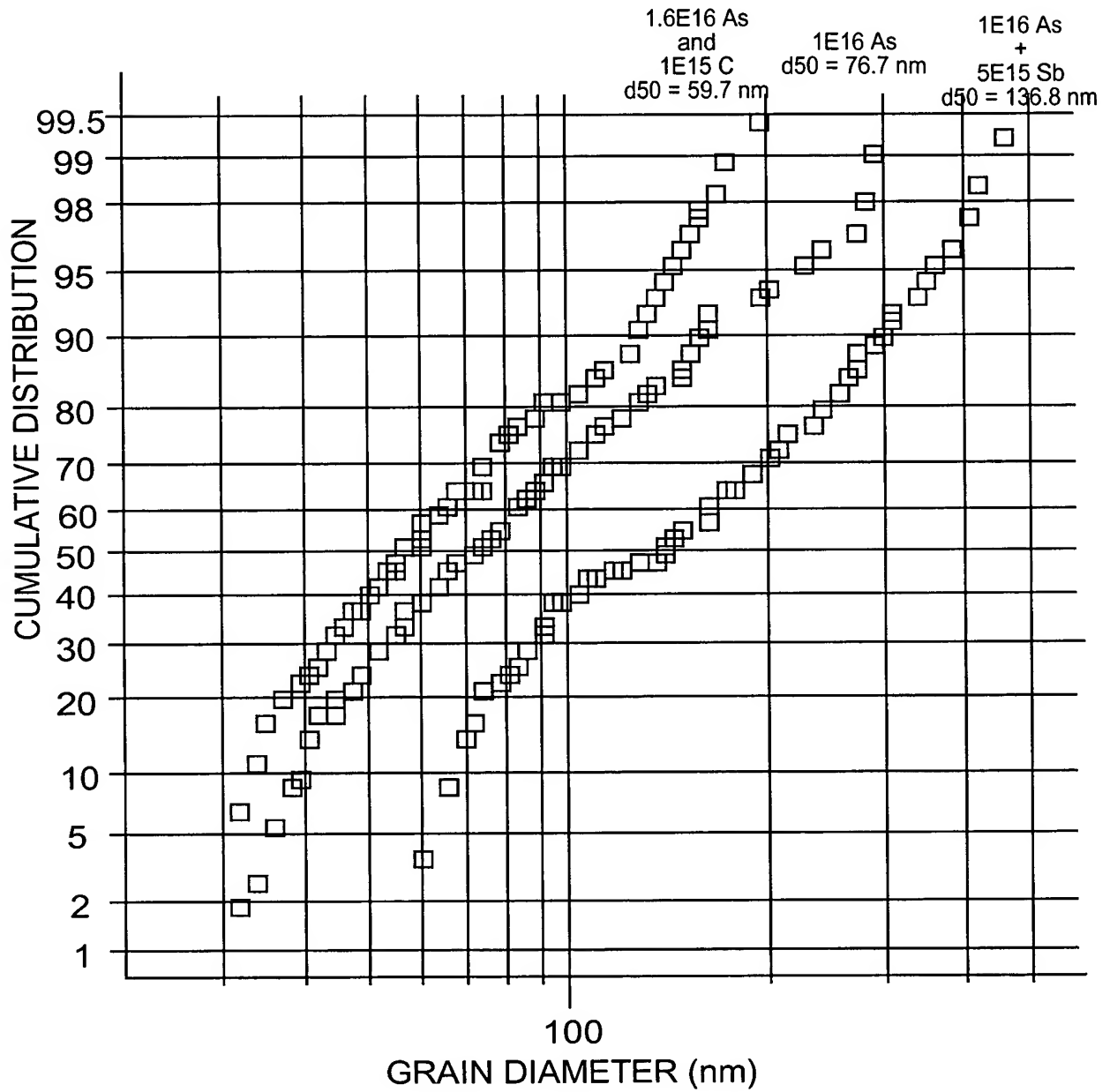


**FIG. 3B**

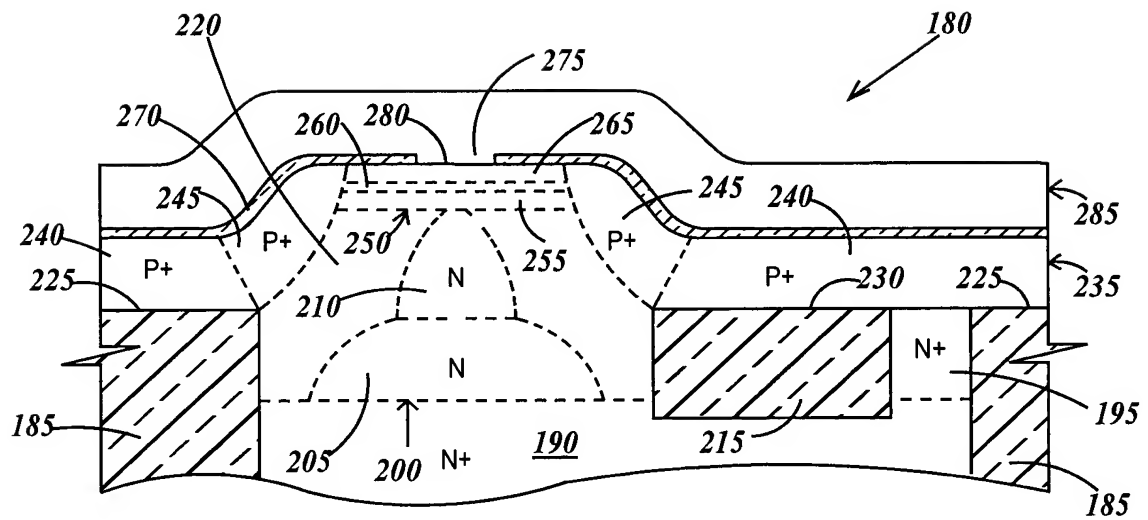


**FIG. 4**

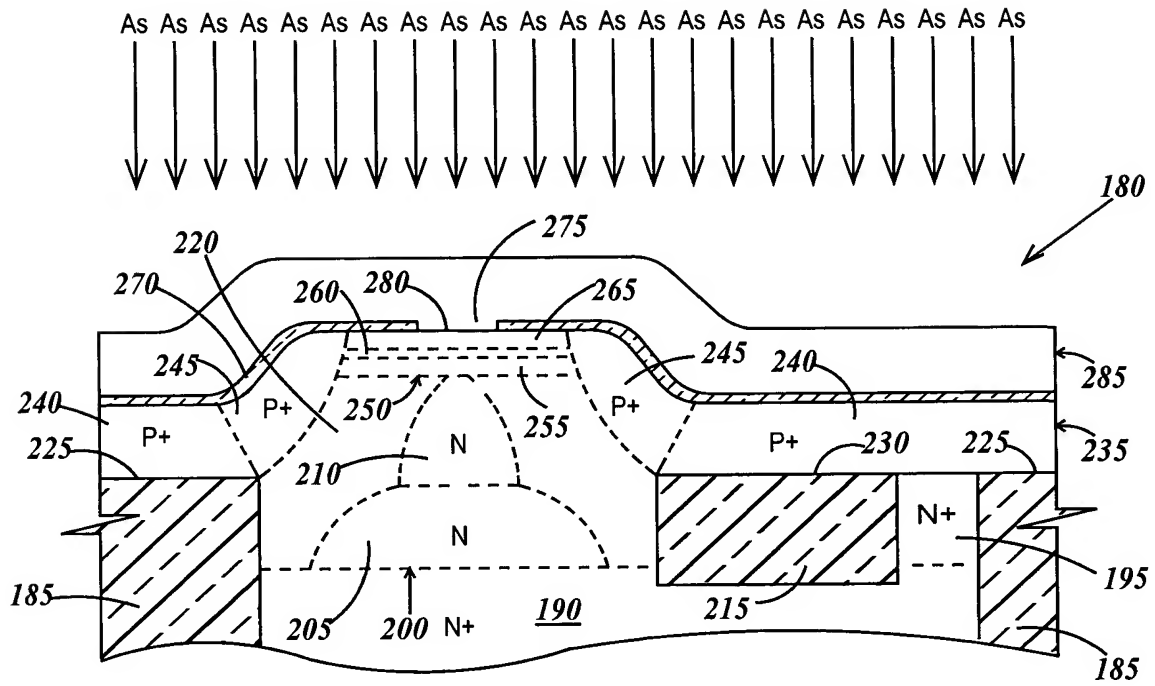
# EFFECT OF CARBON AND ANTIMONY IMPLANT ON POLYSILICON GRAIN SIZE



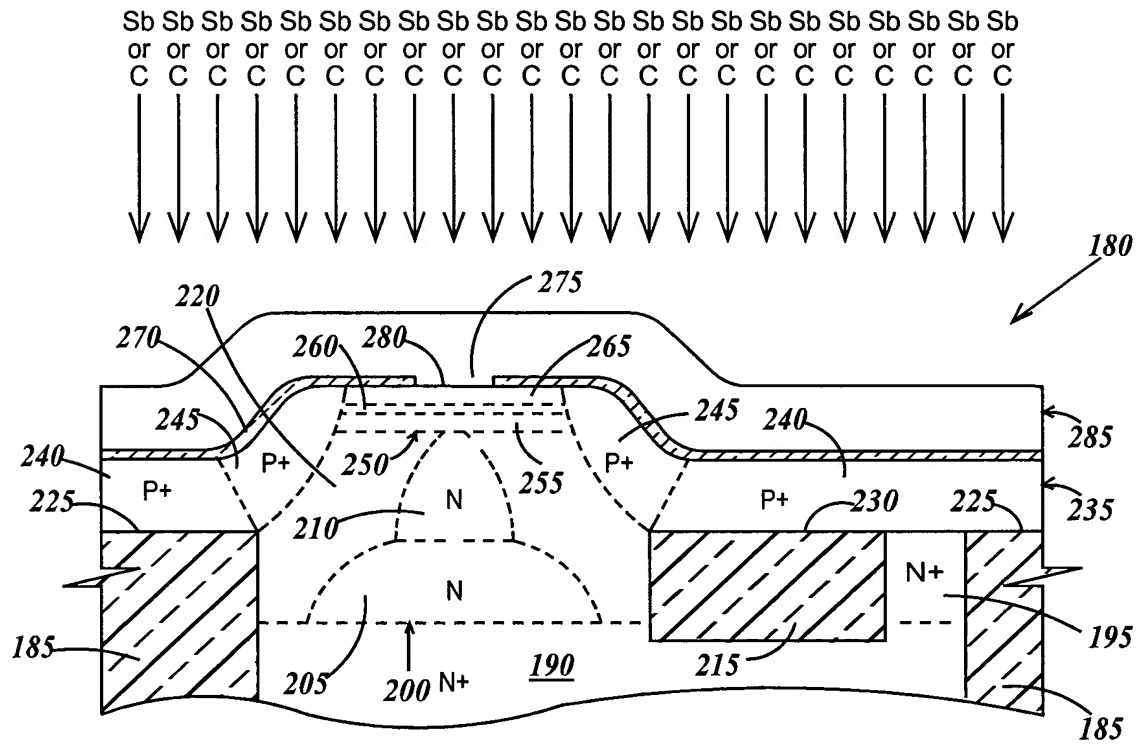
**FIG. 5**



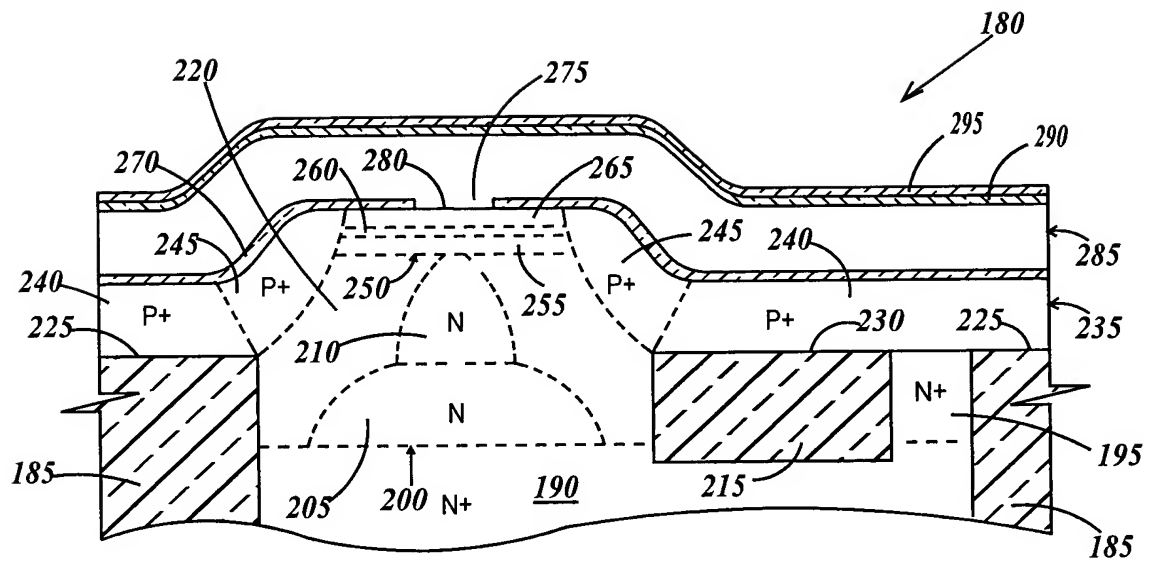
**FIG. 6**



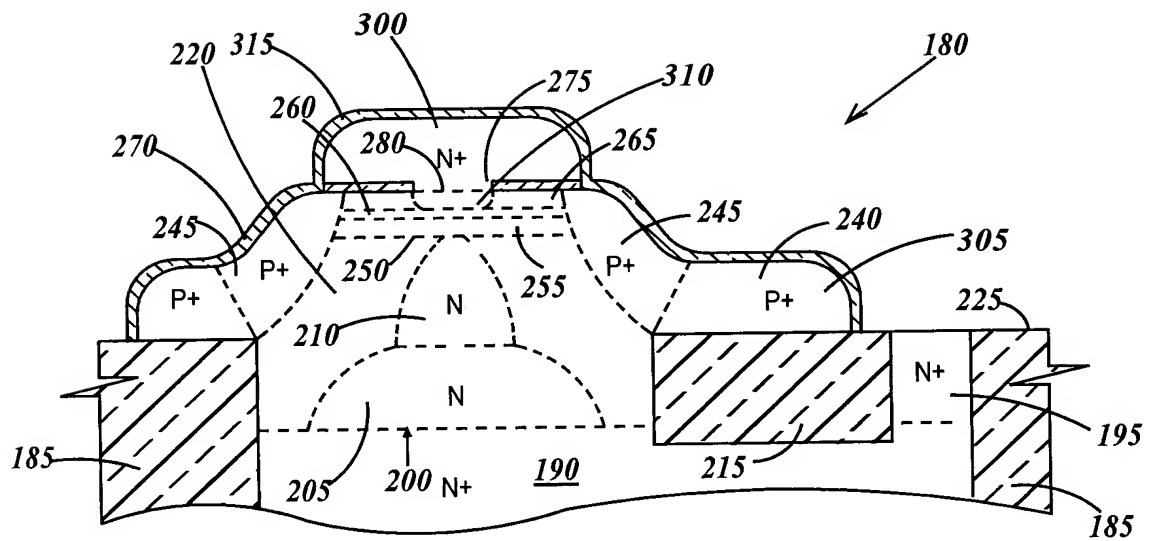
**FIG. 7**



**FIG. 8**

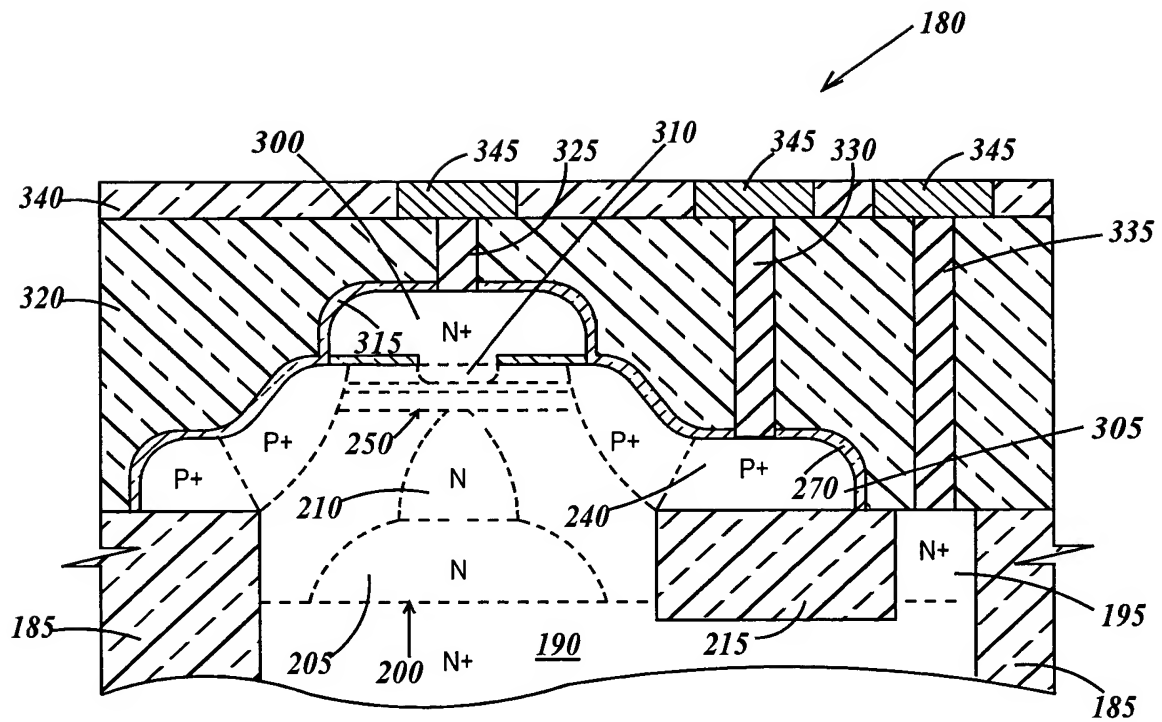


**FIG. 9**

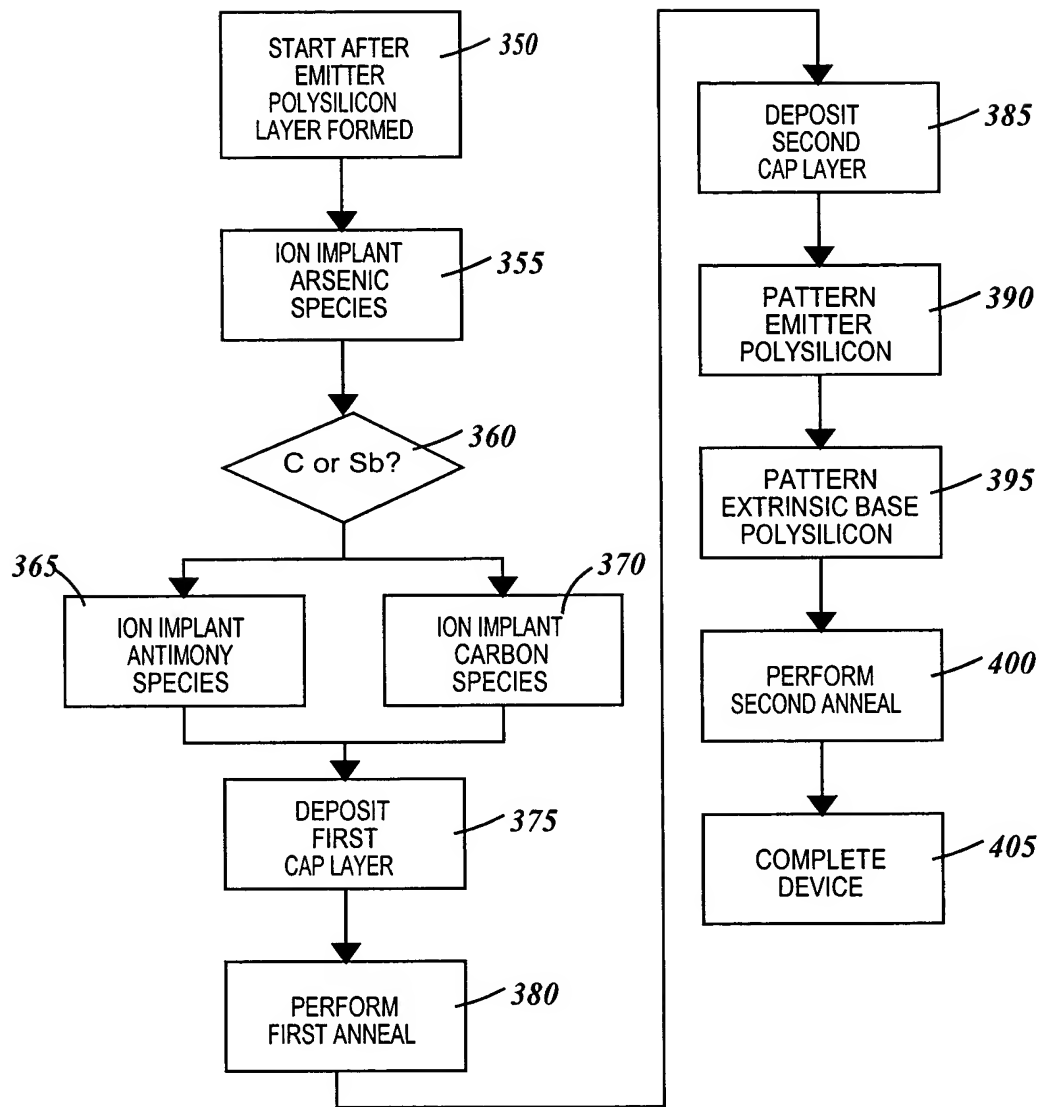


**FIG. 10**

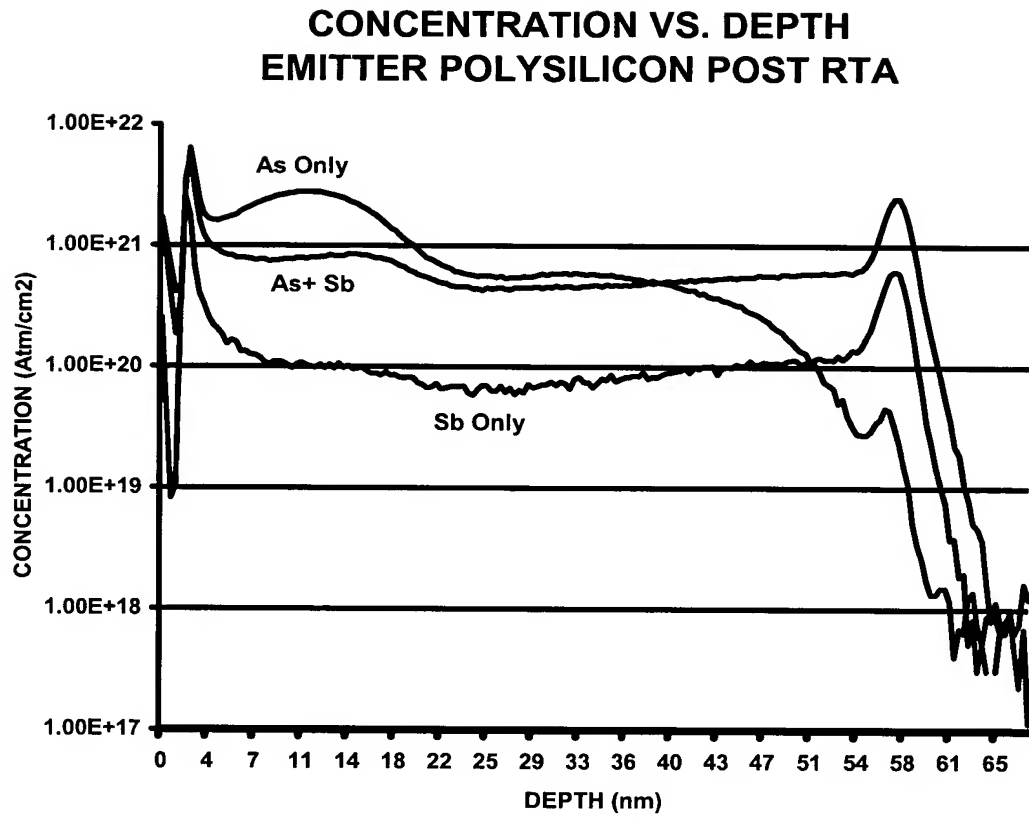




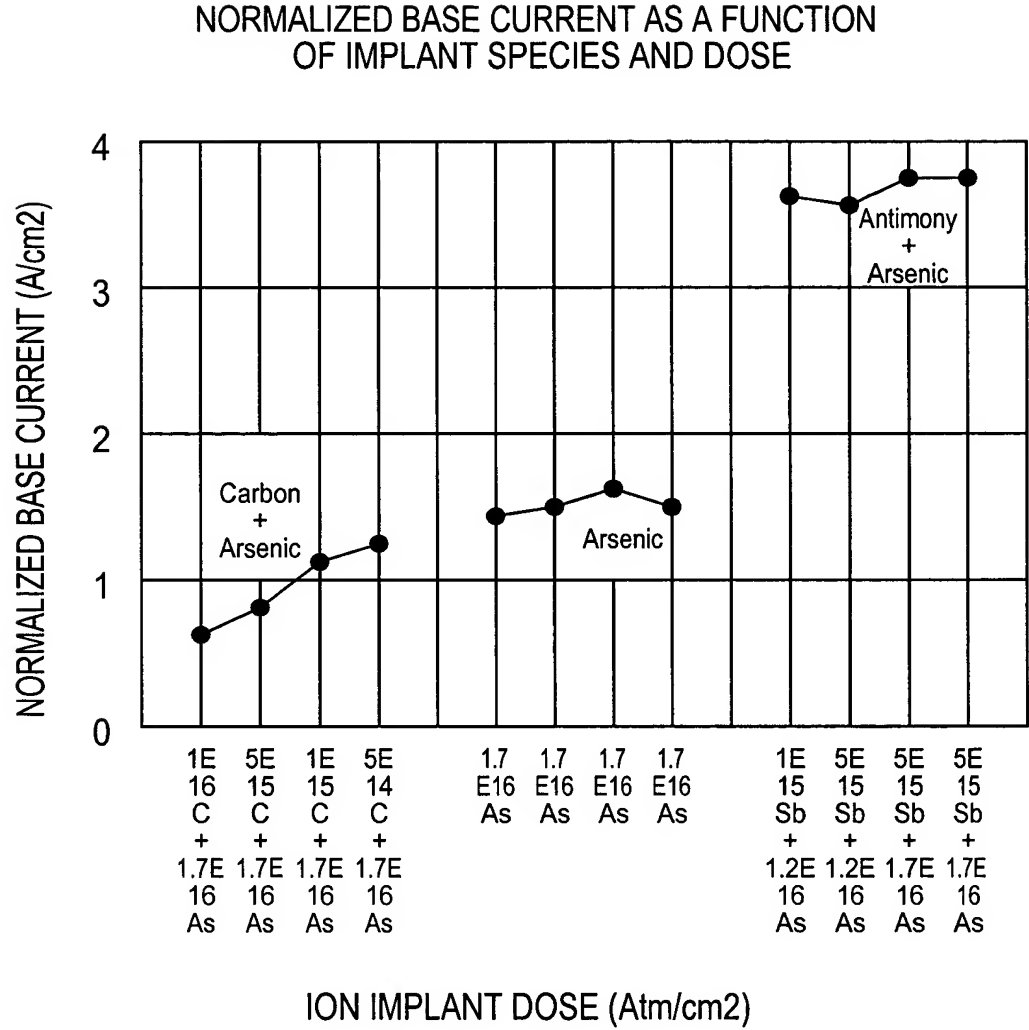
**FIG. 11**



**FIG. 12**

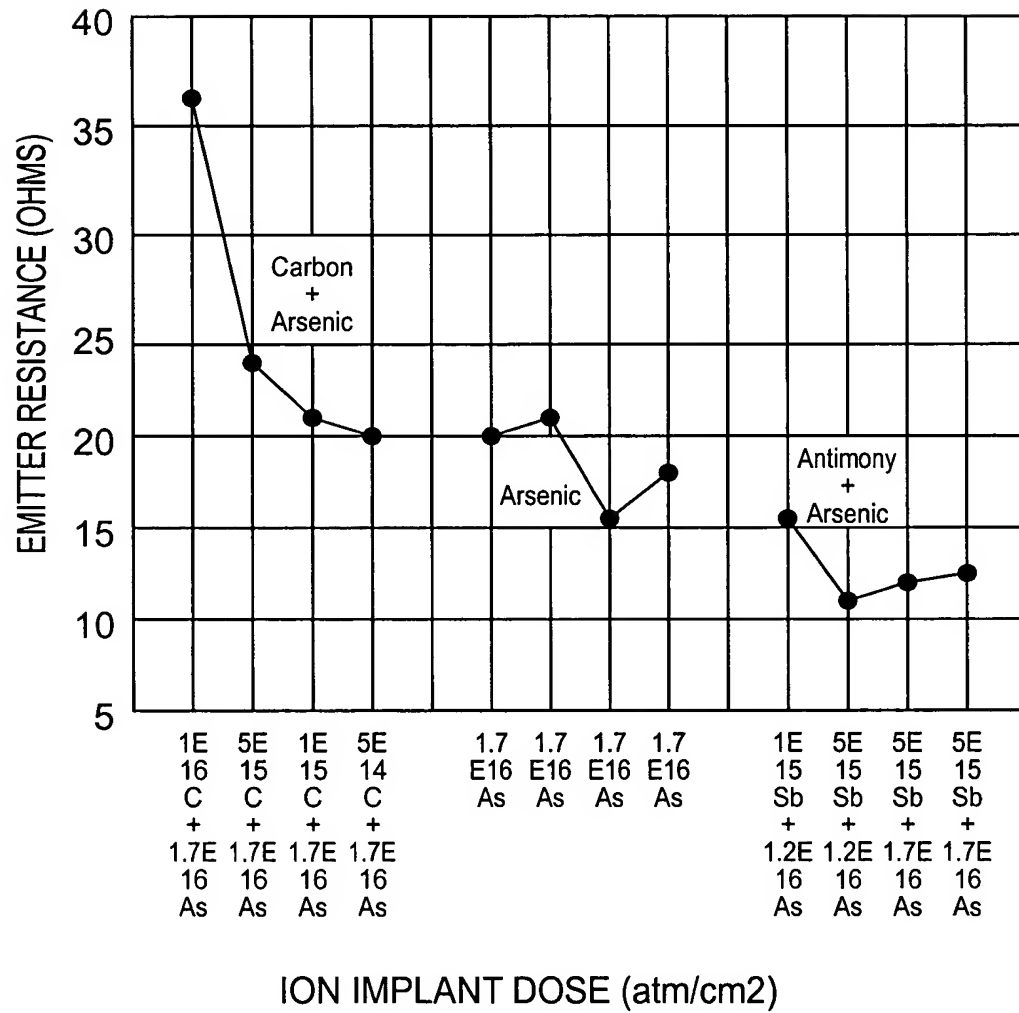


**FIG. 13**

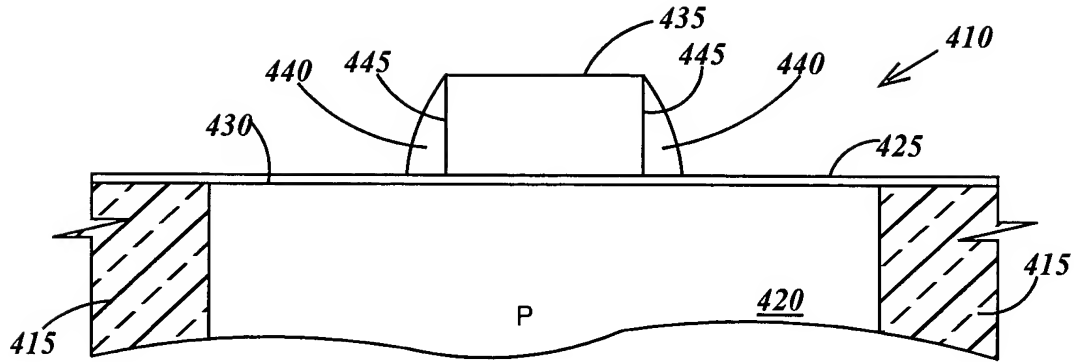


**FIG. 14**

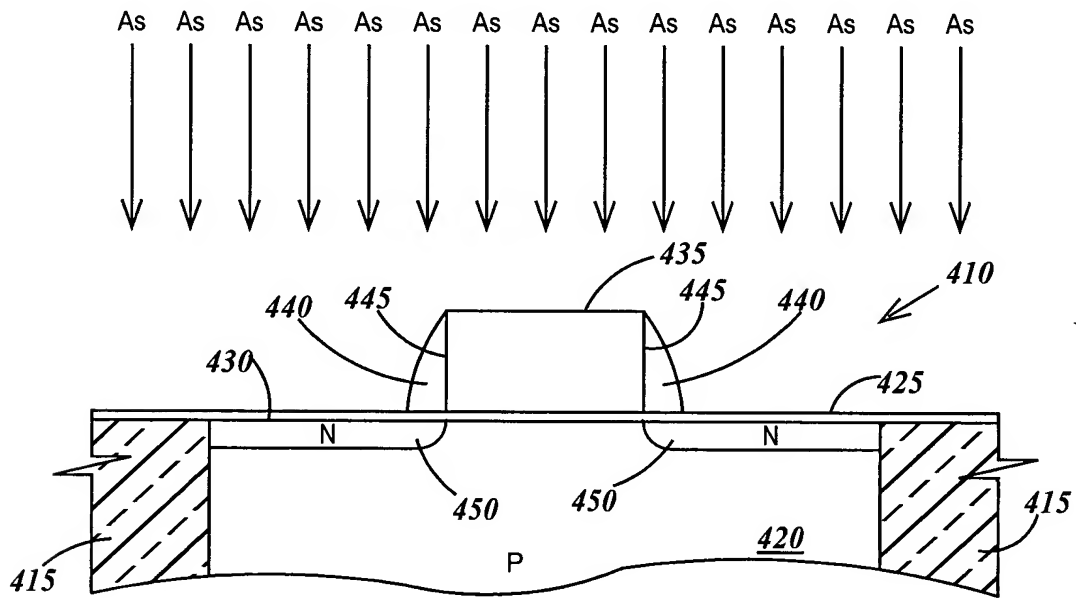
# EMITTER RESISTANCE AS A FUNCTION OF IMPLANT SPECIES AND DOSE



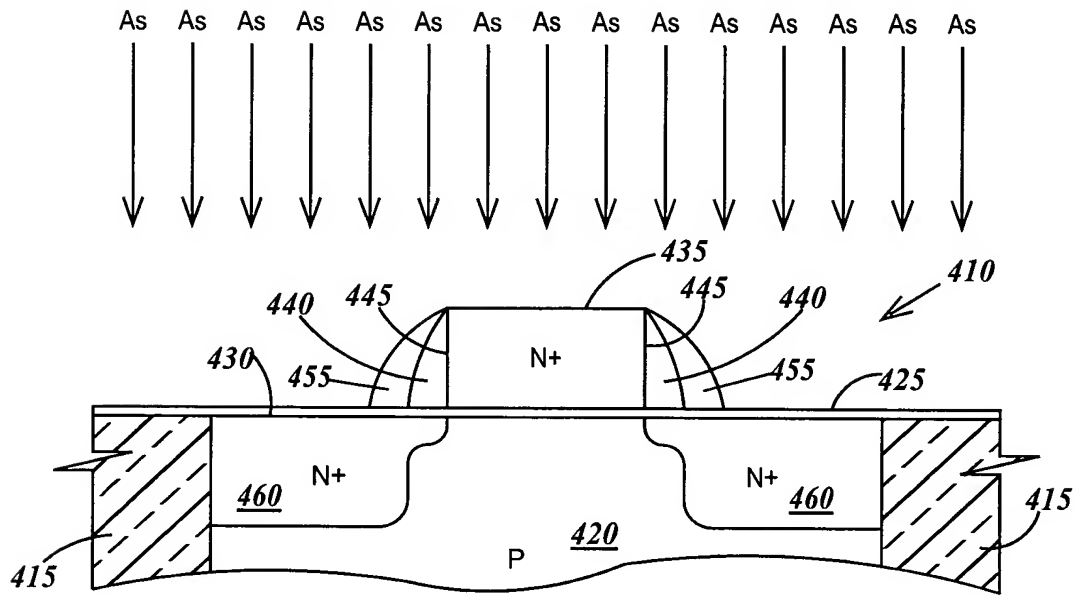
**FIG. 15**



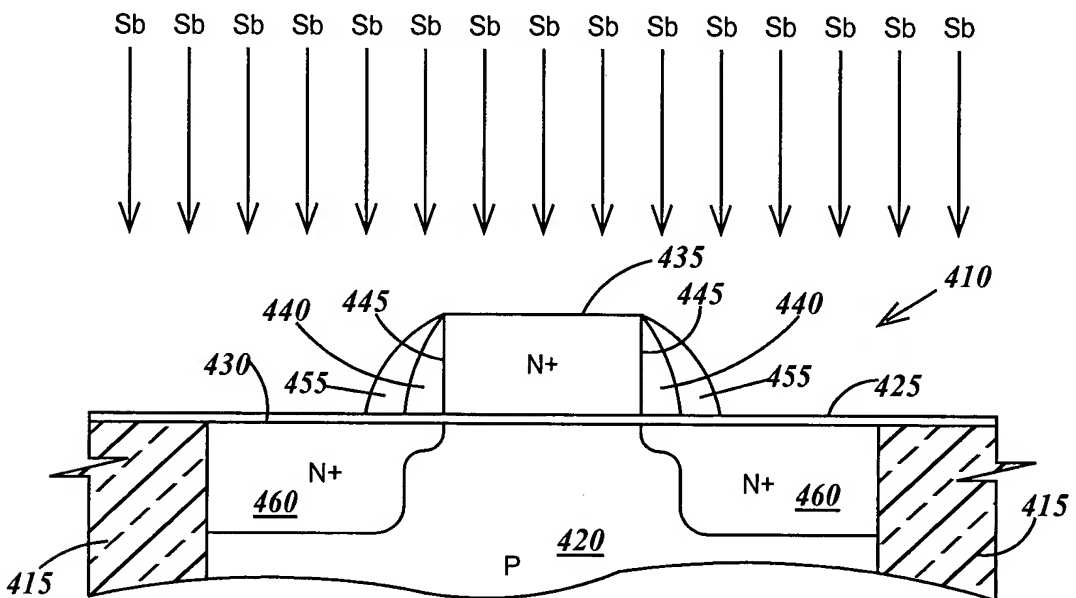
**FIG. 16**



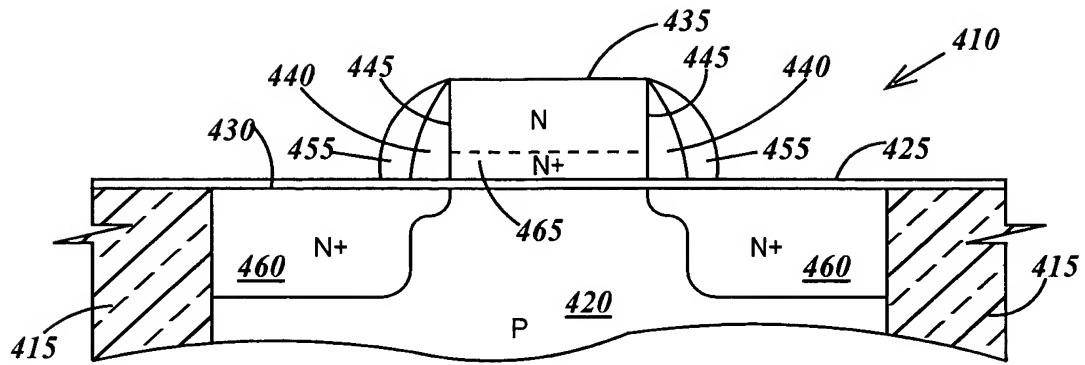
**FIG. 17**



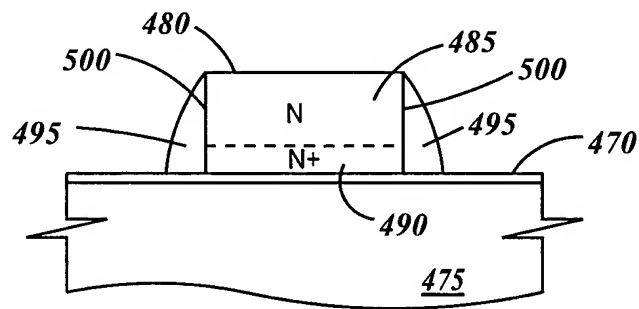
**FIG. 18**



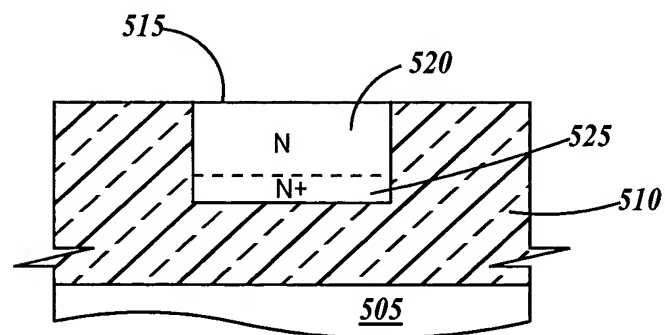
**FIG. 19**



**FIG. 20**

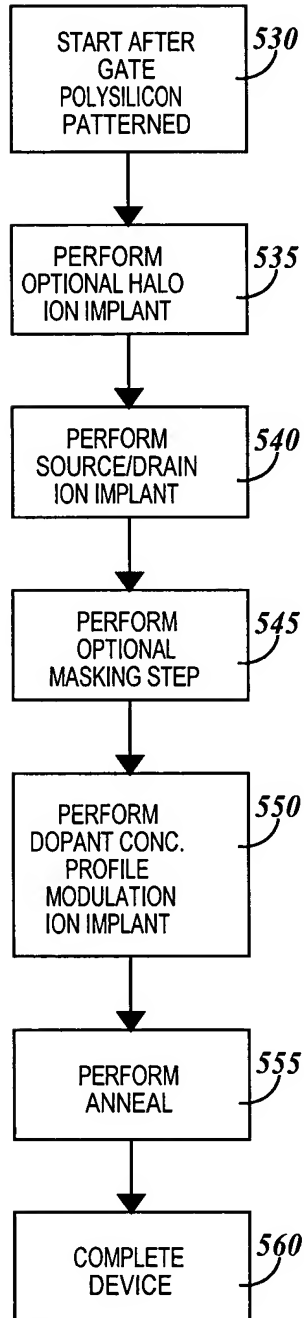


**FIG. 21**

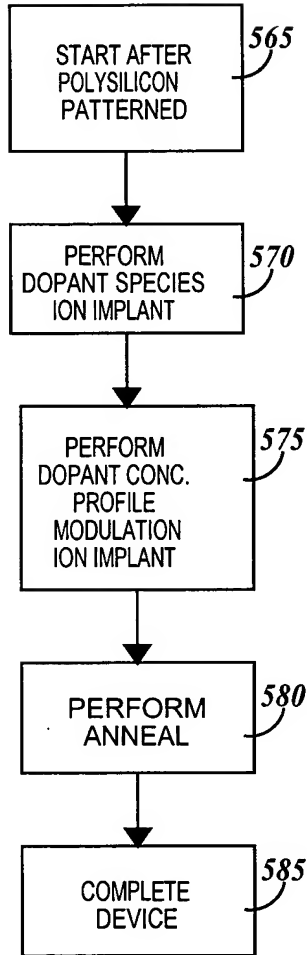


**FIG. 22**

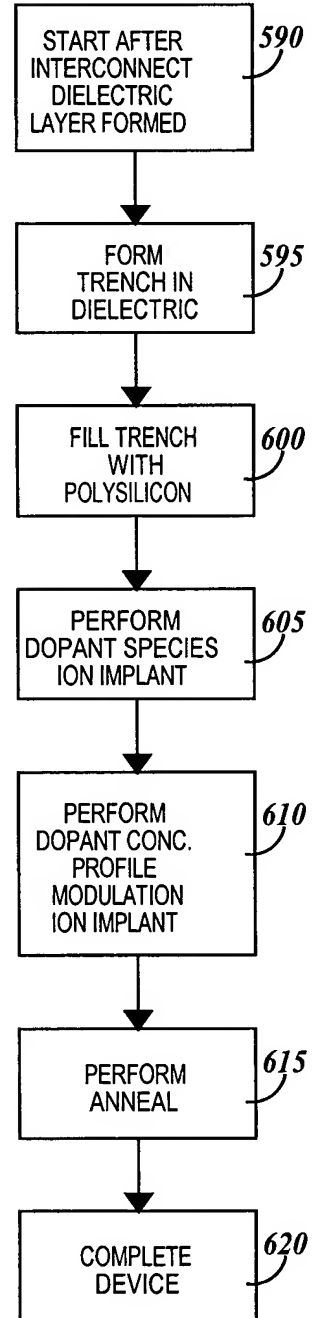




**FIG. 23**



**FIG. 24**



**FIG. 25**